Свойства активных ядер галактик, полученные из анализа радионаблюдений их полных выборок

Александр Попков мфти, АКЦ фиан

Научный руководитель: Юрий Юрьевич Ковалев д. ф.-м. н., чл.-корр. РАН

28 сентября 2022 г.

Предмет и методы исследования

- Радиогромкие активные ядра галактик (АЯГ). Релятивистские струи (джеты) вследствие аккреции на сверхмассивную чёрную дыру (~10⁶-10¹⁰ M_{\odot}).
- Лоренц-фактор частиц до ~108 (Blandford et al. 2019). Лоренц-фактор струи Г~10 (Lister et al., 2019) => сильный эффект Доплера.
- В радиодиапазоне синхротронное излучение джета.
- Излучение во всех диапазонах э/м волн. Вероятные источники нейтрино.
- Радиоинтерферометрия со сверхдлинной базой (РСДБ) позволяет изучать АЯГ с угловым разрешением до десятков µas.
- Многолетние наблюдения => полная по плотности потока выборка компактных источников.
- Широкополосные радиоспектры АЯГ: форма и переменность связаны со структурой. Массово наблюдаются РАТАН-600 и другими инструментами.



NASA/JPL



NRAO/AUI/NSF nrao.edu



aboutspacejornal.net

Цель работы

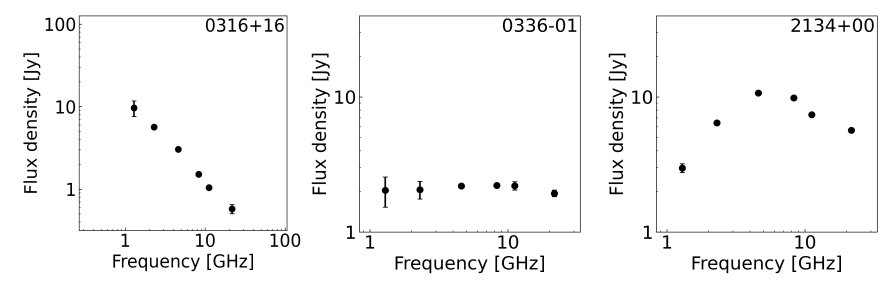
Исследование свойств популяции компактных джетов АЯГ и физики происходящих в них процессов с помощью анализа РСДБ-наблюдений с высоким угловым разрешением и широкополосных радиоспектров для статистически полных выборок АЯГ.

Задачи работы

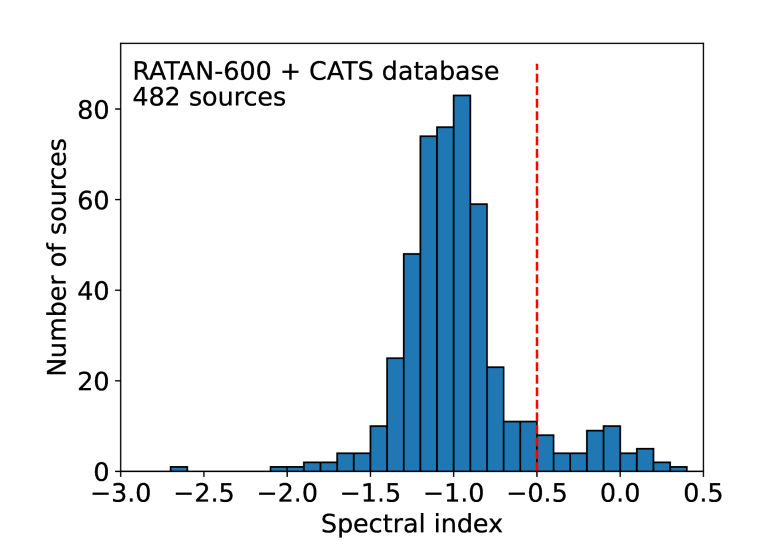
- На основе анализа наблюдений полной по интегральной плотности радиопотока выборки 482 активных ядер галактик определить количество и исследовать свойства РСДБ-компактных объектов с крутым и плоским радиоспектром.
- Изучить особенности активности блазара TXS 0506+056 кандидата в источники нейтрино высоких энергий и сравнить его характеристики в радиодиапазоне с характеристиками других источников полной выборки блазаров.
- Получить несмещённые оценки Доплер-факторов джетов АЯГ путём сравнения значений, определённых по РСДБ-наблюдениям яркостной температуры радиоядра для полной по плотности РСДБ-потока выборки, со значениями, даваемыми другими методами.

Глава 1. Свойства на парсековых масштабах внегалактических источников с крутым и плоским широкополосными радиоспектрами

- Форма спектра: S ~ ν^α, α спектральный индекс.
- Типы спектра:
 - 1) $\alpha < -0.5$ крутой спектр (оптически тонкий);
 - 2) $\alpha > -0.5$ плоский спектр (оптически толстый);
 - 3) спектр с пиком.
- РСДБ чувствительна только к компактным (<~0.1") источникам.
- Источники с плоским спектром считаются компактными (Blandford & Königl, 1979; Pearson & Readhead, 1988). => предпочтительно отбирались для РСДБ-обзоров.
- Источники с крутым спектром в большинстве протяжённые. Но и среди них найдены компактные (Fanti et al., 1990). Какова их доля? Каковы их свойства?
- Мы пронаблюдали на VLBA на 2 и 8 ГГц статистически полную выборку 482 радиоисточников с S_{1.4ГГц} ≥ 0.2 Ян по каталогу NVSS и склонением > +75°.
- Использовали ранее опубликованные широкополосные радиоспектры, полученные на РАТАН-600 (Мингалиев и др., 2007) и других антеннах: 90% крутой спектр, 9% плоский спектр, 1% спектр с пиком.



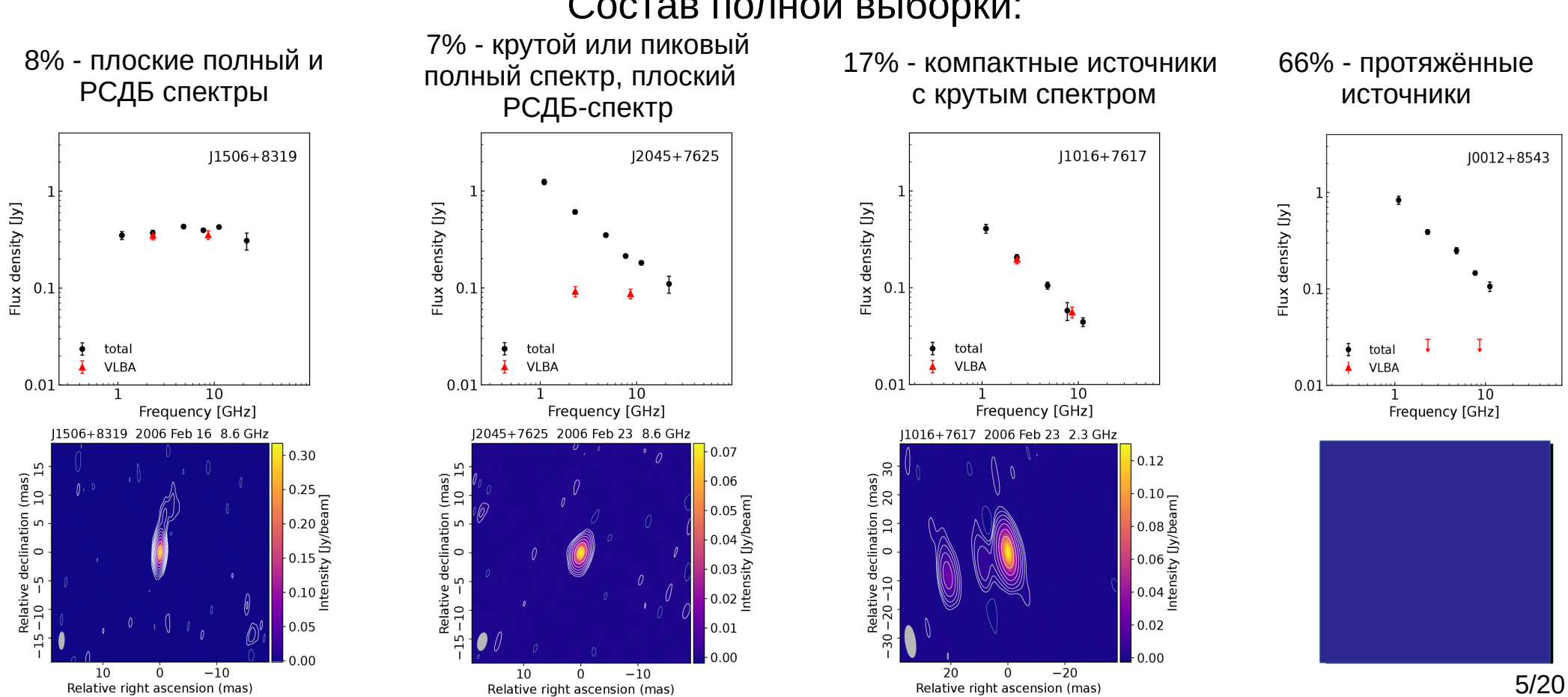
Примеры спектров АЯГ, полученных на РАТАН-600



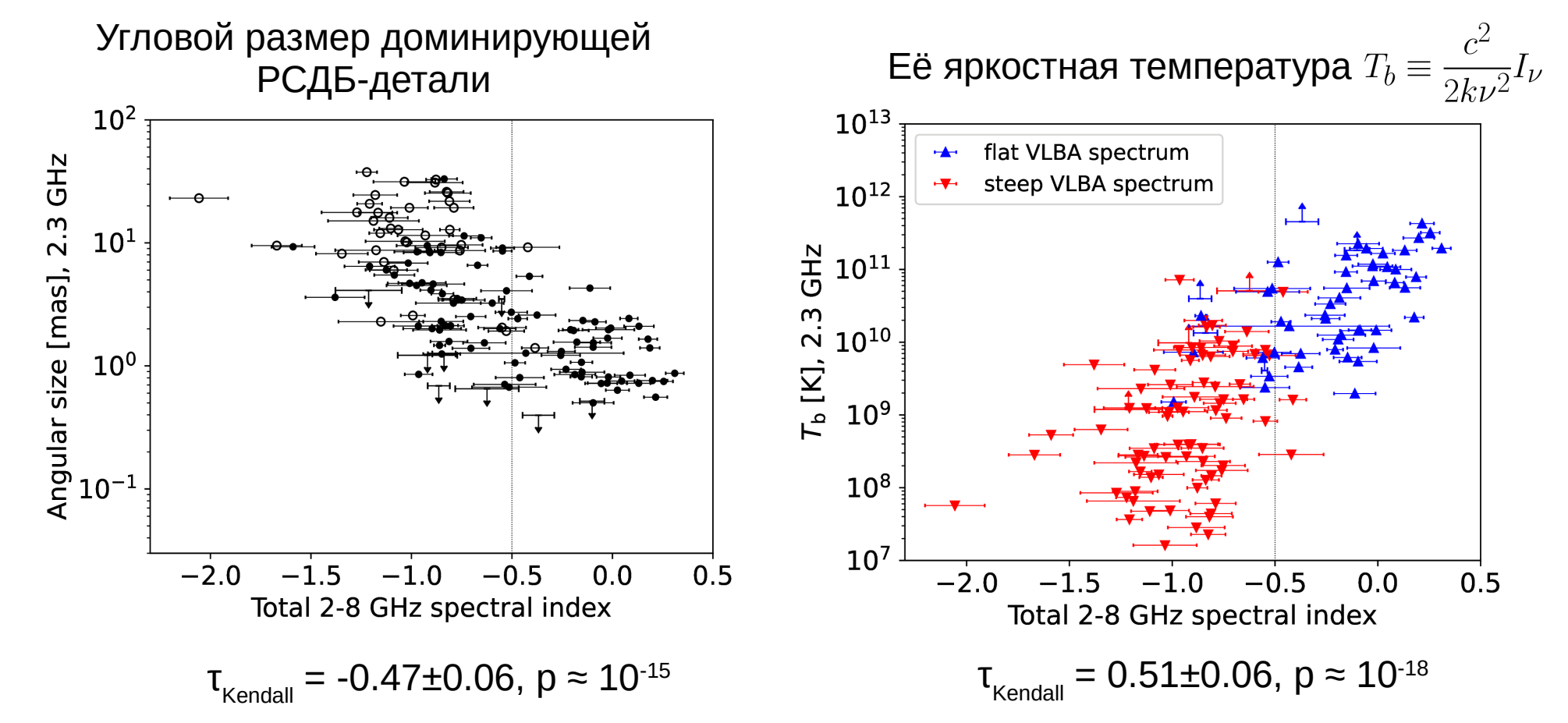
Связь спектра и структуры

Компактные структуры (<0.1") продетектированы у 41/42 источников с плоским спектром, 5/5 — с пиковым спектром, 116/435 — с круто падающим спектром.

Состав полной выборки:



Корреляции со спектральным индексом



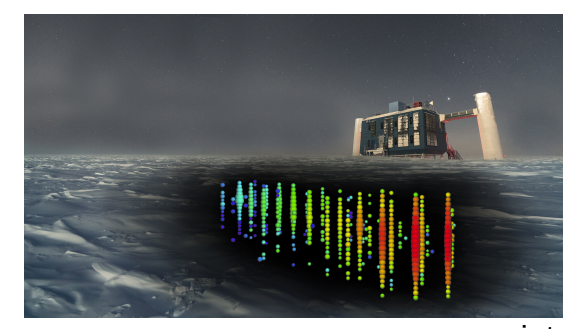
Чем сильнее доминирует ядро, тем более плоский спектр, меньше размер и выше Т_ь

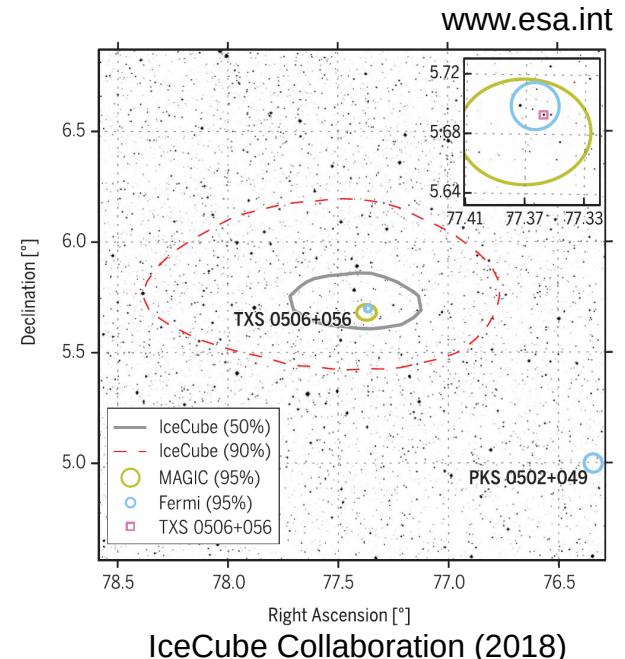
Выводы по Главе 1

- Наблюдения статистически полной выборки подтвердили компактность практически всех источников с плоским и пиковым спектрами и показали, что ~1/4 источников с крутым спектром также имеют компактные структуры.
- 82 кандидата в компактные источники с крутым спектром примерно половина компактных источников выборки.
- Найдены статистически значимые корреляции между параметрами структуры источников и их спектральным индексом следствия перехода от плоского к крутому спектру при переходе от доминирования радиоядра джета в структуре к доминированию оптически тонких областей джетов и/или «мини-радиоушей» парсековых масштабов.
- Большое количество компактных источников с крутым спектром в выборке говорит о неполноте РСДБ-каталогов, построенных только по обзорам источников с плоским спектром: полнота 80% на уровне 200 мЯн, <80% для более слабых источников.

Глава 2. Исследование нейтрино-ассоциированного блазара TXS 0506+056 в рамках мониторинга выборки блазаров на РАТАН-600

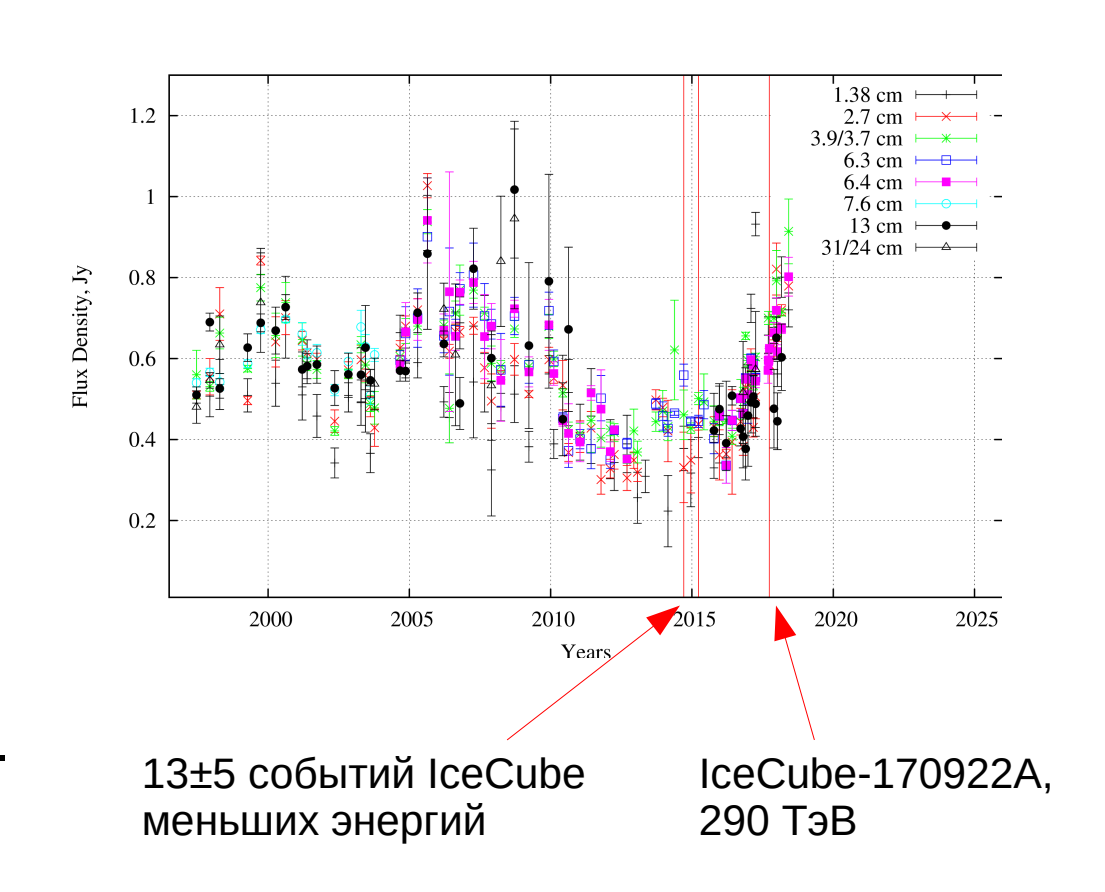
- IceCube детектор нейтрино высоких энергий во льду под Южным полюсом.
- 22 сентября 2017 г. нейтрино с энергией ≈290 ТэВ. Блазар ТХЅ 0506+056: 0.1° от направления прихода, вспышка в гамма (IceCube Collaboration, 2018a).
- Анализ архивных данных: в 2014-2015 гг. 13±5 событий выше фона. Значимость 3.5σ (IceCube Collaboration, 2018b).
- Но популяция гамма-ярких блазаров может объяснить только малую часть полного потока нейтрино (Murase et al., 2018; Yuan et al., 2019).
- TXS 0506+056 исключение?



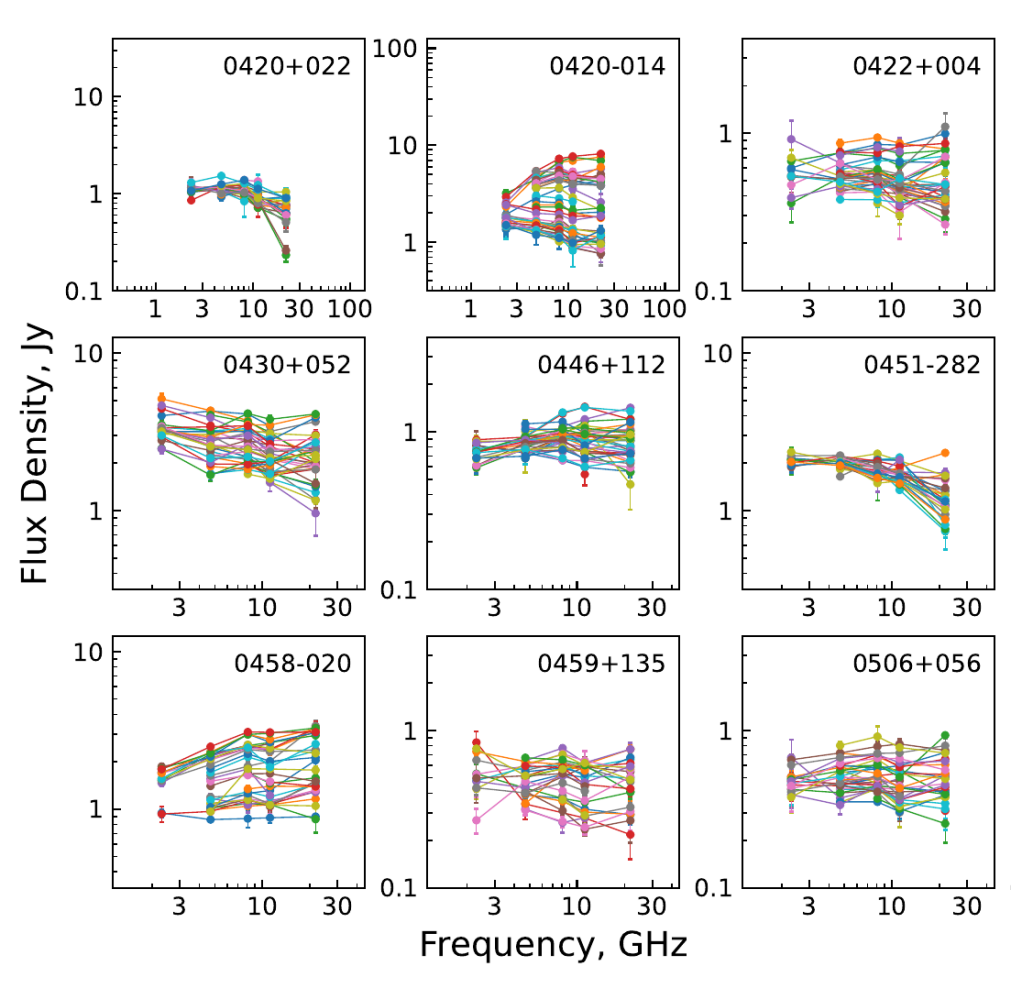


Наблюдения TXS 0506+056 на РАТАН-600

- TXS 0506+056 наблюдается в рамках мониторинга на РАТАН-600.
- Выборка: около 700 компактных АЯГ, полна до плотностей РСДБпотока около 0.4 Ян.
- 4-6 частот от 1 до 22 ГГц, 68 эпох с 1997 по 2018 гг.
- Моменты прихода нейтрино соответствуют началу и развитию мощной вспышки – с 0.4 Ян в 2013 г. до 2 Ян в 2020 г.



TXS 0506+056 — типичный переменный блазар



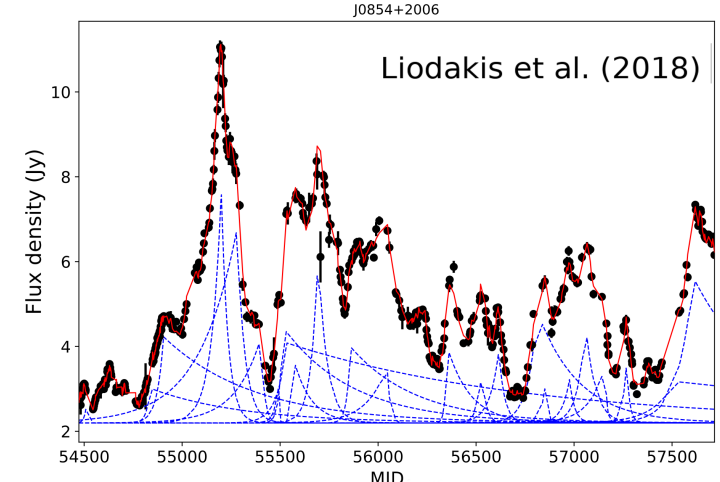
- Слева примеры широкополосных спектров АЯГ, полученных на РАТАН-600 в 2009-2018 гг.
- Спектр TXS 0506+056 относится к классу суперплоских: |α|≤0.1 на высоких частотах в большинство эпох.
- К этому классу относятся также спектры 20% из 700 источников выборки => типичный спектр.
- Переменность также типична.
- Следовательно, источниками нейтрино могут быть и другие блазары (см. Plavin et al., 2020, 2021; Hovatta et al., 2021).
- Рождение нейтрино: реакция р+у.
 Блазары должны ускорять протоны до релятивистских энергий.
 Синхротронное излучение протонов?

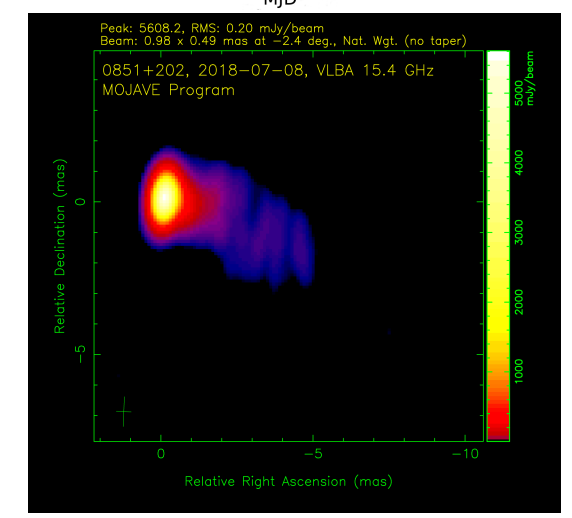
Выводы по Главе 2

- Нейтринные события в 2014-2015 и в 2017 годах, отождествлённые с блазаром ТХS 0506+056, пришлись на период развития сильной вспышки в нём на сантиметровых длинах волн. Подтверждение ассоциации с нейтрино.
- Спектр источника является типичным для переменных АЯГ. Блазары могут давать существенный вклад в поток нейтрино высоких энергий.
- Указание на связь процессов генерации нейтрино и вспышек синхротронного радиоизлучения в ядрах блазаров. Необходимы релятивистские протоны в джете.

Глава 3. Оценка Доплер-фактора джетов по РСДБ-измерениям яркостной температуры для полной по плотности потока выборки АЯГ

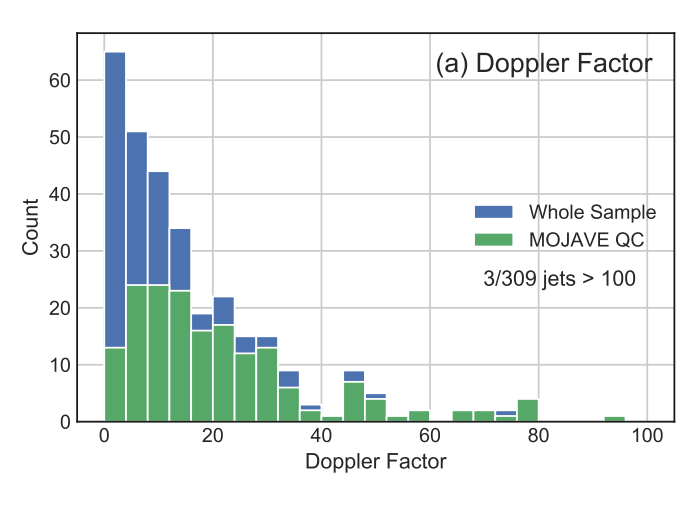
- Доплер-фактор: $\delta = 1/[\Gamma(1 \beta \cos \theta)]$, Лоренц-фактор: $\Gamma = (1-\beta^2)^{-1/2}$, $\beta = v/c$
- Джеты АЯГ синхротронный континуум, прямое измерение невозможно.
- Косвенные методы:
 - по яркостной температуре из характерного времени переменности (Hovatta et al. 2009; Liodakis et al. 2017, 2018)
 - по времени угасания «сверхсветовых» РСДБкомпонент джета (Jorstad et al., 2017)
 - по яркостной температуре из РСДБ (эта работа)
 - другие: отношение джет/контрджет, отношение рентген/радио, популяционный синтез
- Ранее: значительные расхождения между методами. Какие значения истинные?

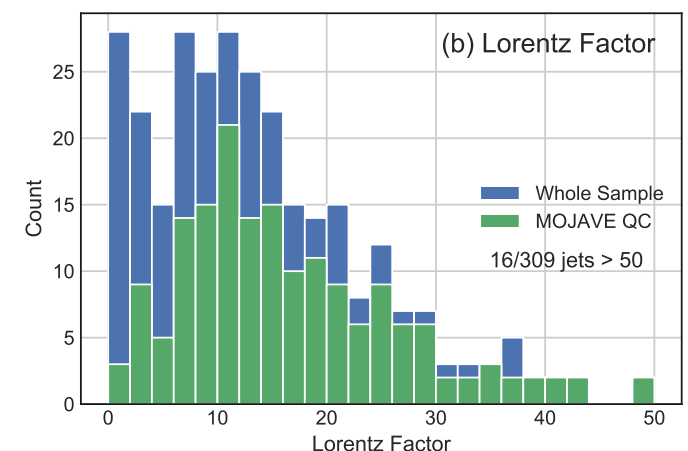


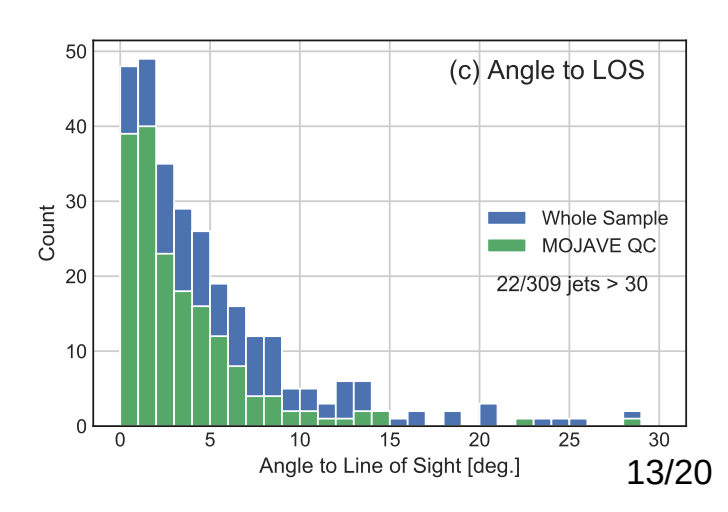


Измерение яркостной температуры в проекте MOJAVE

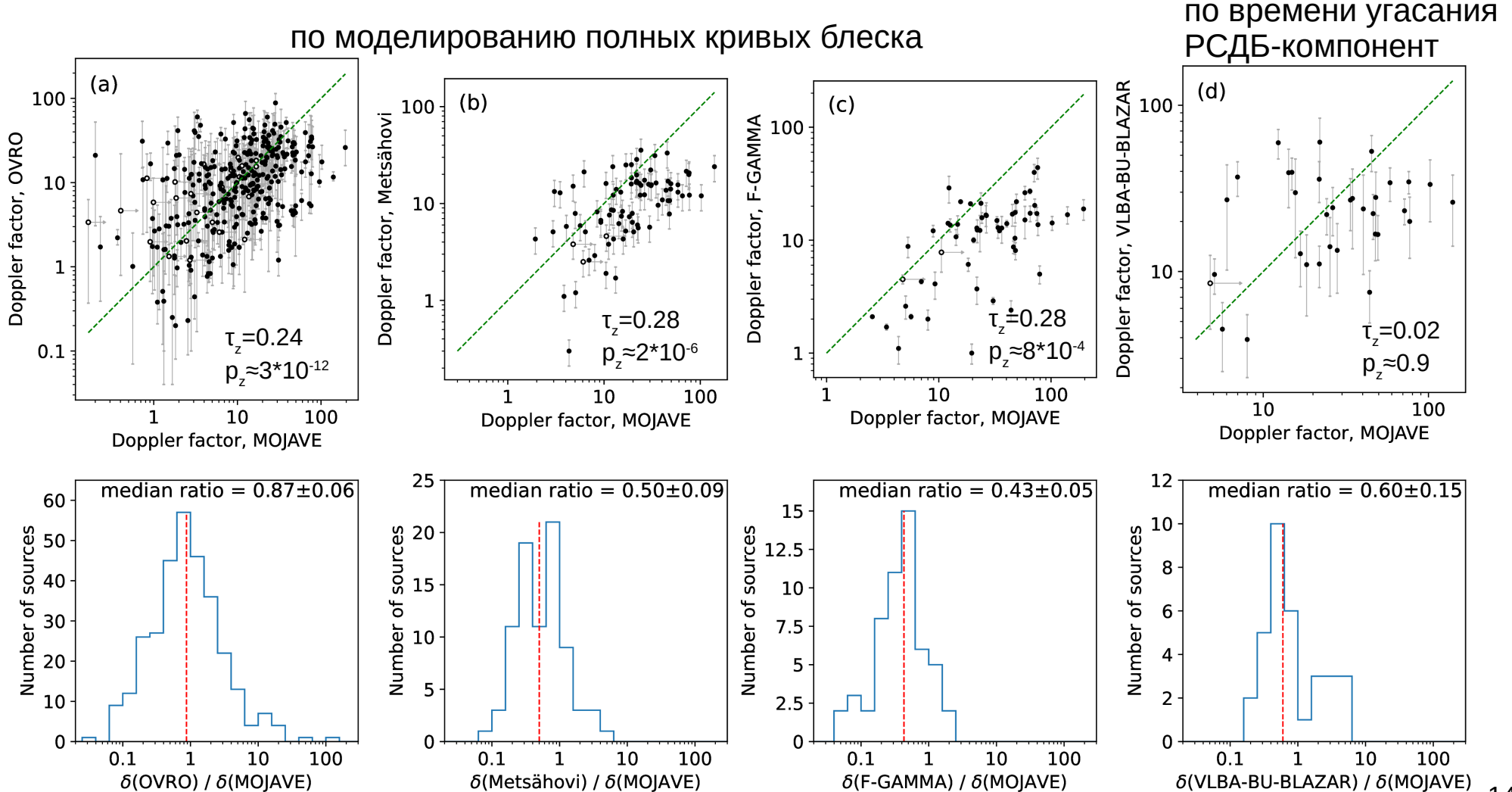
- VLBA-обзор на 2 см + MOJAVE (Monitoring Of Jets in Active Galactic Nuclei with VLBA Experiments): ≈25 лет РСДБ-мониторинга сотен АЯГ. До 1.5 Ян полная выборка.
- Измерения медианной яркостной температуры радиоядра для 447 АЯГ.
- Измерения видимой скорости джета для 309 АЯГ: $\beta_{obs} = \beta \sin\theta / (1 \beta \cos\theta)$. Предположение: β_{obs} характеризует течение плазмы в джете.
- $\delta = T_b / T_{b, int}$. Предположение: $T_{b, int}$ единая для выборки.
- Определена T_{b. int} = (4.1±0.6)*10¹⁰ К близко к равнораспределению (Readhead, 1994).







Сравнение Доплер-факторов



Выводы по Главе 3

- Значения Доплер-фактора джетов АЯГ, определённые двумя независимыми методами для разных состояний одних и тех же источников при различных предположениях по медианной яркостной температуре радиоядра и из моделирования вспышек согласуются в пределах погрешностей методов.
- Это повышает доверие к обоим методам, давая основания для использования полученных Доплер-факторов в различных задачах.
- Величина оценённых Доплер-факторов недостаточна, чтобы объяснить экстремальные яркостные температуры до 10¹⁴ К, открытые "РадиоАстроном".

Положения, выносимые на защиту

- 1. В статистически полной выборке 482 активных ядер галактик с интегральной плотностью потока на частоте 1.4 ГГц более 200 мЯн и склонением ≥ +75° исследована связь между структурой и широкополосным радиоспектром. Компактные структуры масштабов сотен парсек и менее были обнаружены в 100% источников с пиковой формой спектра, 98% источников с плоским спектром и 27% источников с круто падающим спектром. Продемонстрировано, что РСДБ-компактные внегалактические радиоисточники состоят из двух классов объектов примерно равной численности: блазаров, у которых в радиоизлучении доминирует оптически непрозрачное радиоядро джета, и компактных источников с круто падающим РСДБ-спектром, у которых доминируют оптически прозрачные джеты или облака плазмы парсековых масштабов. Это подтверждается обнаруженными статистически значимыми отрицательной корреляцией углового размера компактных компонент со спектральным индексом и положительной корреляцией яркостной температуры со спектральным индексом.
- На основании многолетних многочастотных наблюдений на PATAH-600 блазара TXS 0506+056, ассоциированного ранее с источником нейтрино высоких энергий, найдено, что его широкополосный радиоспектр относится к классу плоских и является типичным для переменных АЯГ. Нейтринные события в 2014-2015 и в 2017 годах, отождествлённые с этим блазаром, пришлись на период начала и развития в нём сильной вспышки на сантиметровых длинах волн. Это независимо подтверждает, что данный блазар является вероятным источником высокоэнергичных нейтрино, и указывает на связь процессов генерации нейтрино и вспышек синхротронного радиоизлучения в ядрах блазаров.
- 3. Определено, что значения Доплер-фактора джетов АЯГ, полученные для большой статистически полной выборки по РСДБ-измерениям яркостной температуры их ядер, согласуются со значениями, независимо определёнными ранее из анализа вспышек радиоизлучения, в пределах погрешностей методов. Типичное значение Доплер-фактора составляет около 10. Это соответствует независимым оценкам, полученным из анализа РСДБ-кинематики джетов. Делается вывод о достоверности полученных оценок Доплер-фактора. 16/20

Публикации и личный вклад

1. *Popkov A. V., Kovalev Y. Y., Petrov L. Y., Kovalev Y. A.* Parsec-scale Properties of Steep- and Flat-spectrum Extragalactic Radio Sources from a VLBA Survey of a Complete North Polar Cap Sample // **Astronomical Journal.** – 2021. – Vol. 161, no. 2. – id. 88.

Вклад диссертанта основной и включает обработку РСДБ-данных в пакетах AIPS и Difmap, астрофизический анализ результатов, обсуждение и подготовку публикации.

2. Kovalev Y. A., Kardashev N. S., Kovalev Y. Y., Sokolovsky K. V., Voitsik P. A., Edwards P. G., Popkov A. V. et al. RATAN-600 and RadioAstron reveal the neutrino-associated blazar TXS 0506+056 as a typical variable AGN // **Advances in Space Research.** – 2020. – Vol. 65, no. 2. – P. 745—755.

Вклад диссертанта заключается в участии в подготовке расписаний и сопровождении наблюдений на РАТАН-600 и в участии, наравне с другими соавторами, в проведении анализа, обсуждении результатов и подготовке публикации.

3. Homan D. C., Cohen M. H., Hovatta T., Kellermann K. I., Kovalev Y. Y., Lister M. L., Popkov A. V. et al. MOJAVE. XIX. Brightness Temperatures and Intrinsic Properties of Blazar Jets // **Astrophysical Journal.** – 2021. – Vol. 923, no. 1. – id. 67.

Вклад диссертанта заключается в анализе полученных оценок Доплер-фактора для выборки АЯГ, определении величины и значимости систематических сдвигов результатов, а также в участии, наравне с другими соавторами, в обсуждении результатов и подготовке публикации.

Спасибо за внимание!

Ответы на замечания

• В подрисуночной подписи Рис. 1.2, а также на вертикальной оси соответствующих примеров указано, что приведена «интенсивность в центральном пикселе карты». По-видимому, имеется в виду фазовый центр изображения.

Да, имелось в виду значение интенсивности в пикселе, соответствующем фазовому центру изображения.

• В формуле (1.4) для оценки верхнего предела на угловой размер главной структурной детали изображения неясно как рассчитывался параметр «сигнал/шум карты в области, занятой главной компонентой», если модельный размер последней очень мал. По-видимому, использовалась область большая, чем занимаемая главной компонентой. Насколько большая?

Использовалась область, занимаемая свёрткой компоненты с диаграммой направленности CLEAN-карты. Размер области определялся по уровню половины мощности. Данная методика оценки предельного размера компоненты описана в работе Kovalev et al. (2005), ссылка на которую дана под формулой (1.4) в тексте диссертации.

Ответы на замечания

• В качестве рекомендации на будущее хотелось бы пожелать диссертанту испытать для восстановления РСДБ-изображений АЯГ методы, основанные на методах амплитудного картографирования (без учета фазовой информации) в сочетании с методом максимальной энтропии в тех случаях, когда применение традиционных методов самокалибровки и CLEAN не дает желаемого результата.

Согласен. Мы рассматриваем возможность применения в будущих исследованиях различных вариантов регуляризованного метода максимального правдоподобия, в том числе метода максимальной энтропии. Они реализованы, например, в пакетах eht-imaging и SMILI, разработанных для анализа данных Телескопа Горизонта Событий. Одним из достоинств данных пакетов является то, что в них есть возможность проводить картографирование по замкнутым амплитудам и фазам функции видности, что уменьшает влияние погрешностей измерений функции видности на результат.